レーザ超音波計測データを用いた非破壊評価のための トポロジー導関数による欠陥決定解析

Identification of defects using topological derivatives for QNDE with laser measurement data

中園 昂志 (京大・情報) 吉川仁 (京大・情報) Takashi NAKAZONO, Kyoto University Hitoshi YOSHIKAWA, Kyoto University FAX:075-753-5870, E-mail: yoshikawa.hitoshi.5u@kyoto-u.ac.jp

Identification of defects using topological derivatives for QNDE with laser measurement data is considered. In previous studies of an identification of defects in an elastic material using topological derivatives, the topological derivatives are defined with the displacement vectors measured on the surface of the material. However, only the normal component of the particle velocity on the surface is able to be obtained with the laser ultrasonic measurement. In this study, topological derivatives are calculated using normal particle velocities on the surface of the material. We solve a simple defect identification problem using the proposed topological derivatives. We can show that the defects are determined with sufficient accuracy using the topological derivatives calculated with the normal component of the particle velocity on the surface.

1. 序論

レーザ超音波計測による波形データを用いた定量的非破 壊評価への応用を見越し,2次元弾性波動場におけるトポロ ジー導関数を用いた散乱体決定解析を考える.これまでに提 案されている弾性体に対するトポロジー導関数を用いた散 乱体決定解析では、領域の境界で計測される変位 u_i , i=1,2を用いてトポロジー導関数が定義されている1).しかし,実 際のレーザ超音波計測によって得られる計測データは対象 物表面の粒子速度の法線方向成分 \dot{u}_n (ここに $,\dot{(\)}$ は時間微 分を表す)であり、レーザ計測データを直接用いる散乱体 決定解析を考えるのであれば、トポロジー導関数を定義し 直す必要がある.そこで,本研究では対象物表面の法線方 向の粒子速度の計測データを用いたトポロジー導関数を導 入し,散乱体の決定を試みる.

2. トポロジー導関数を用いた散乱体決定解析

内部に複数の散乱体を持つ2次元の等方弾性体 Ω におけ る初期値境界値問題を考える.ここに,S を弾性体 Ω の表 面とする.内部の複数の散乱体の占める領域の集合をD,Dの境界を Γ , $\Omega_{\Gamma}:=\Omega\setminus D$ としたときの変位 $oldsymbol{u}^{\Gamma}(oldsymbol{\xi},t)$ につい ての動弾性方程式の初期値境界値問題を $\mathcal{P}(\Gamma)$ とする.

 $\mathcal{P}(\Gamma)$:

$$\begin{cases} \boldsymbol{\Delta}^* \boldsymbol{u}^{\Gamma}(\boldsymbol{\xi}, t) = \rho \ddot{\boldsymbol{u}}^{\Gamma}(\boldsymbol{\xi}, t) & (\boldsymbol{\xi} \in \Omega_{\Gamma}, t > 0) & \text{(1a)} \\ \boldsymbol{t}[\boldsymbol{u}^{\Gamma}](\boldsymbol{\xi}, t) = \boldsymbol{p}(\boldsymbol{\xi}, t) & (\boldsymbol{\xi} \in S, t > 0) & \text{(1b)} \\ \boldsymbol{t}[\boldsymbol{u}^{\Gamma}](\boldsymbol{\xi}, t) = \boldsymbol{0} & (\boldsymbol{\xi} \in \Gamma, t > 0) & \text{(1c)} \\ \boldsymbol{u}^{\Gamma}(\boldsymbol{\xi}, 0) = \dot{\boldsymbol{u}}^{\Gamma}(\boldsymbol{\xi}, 0) = \boldsymbol{0} & (\boldsymbol{\xi} \in \Omega_{\Gamma}) & \text{(1d)} \end{cases}$$

$$\boldsymbol{t}[\boldsymbol{u}^{T}](\boldsymbol{\xi},t) = \boldsymbol{0} \qquad (\boldsymbol{\xi} \in \Gamma, \ t > 0) \qquad (1c)$$

$$\boldsymbol{u}^{T}(\boldsymbol{\xi},0) = \dot{\boldsymbol{u}}^{T}(\boldsymbol{\xi},0) = \boldsymbol{0} \qquad (\boldsymbol{\xi} \in \Omega_{\Gamma})$$
 (1d)

ここに, Δ^* は弾性方程式の微分作用素,t はトラクション であり,それぞれ

$$(\mathbf{\Delta}^* \mathbf{u})_i = C_{ijkl} u_{l,kj} \tag{2}$$

$$\boldsymbol{t}[\boldsymbol{u}] = C_{ijkl} u_{l,k} n_j \tag{3}$$

$$C_{ijkl} = \lambda \delta_{ij} \delta_{kl} + \mu (\delta_{ik} \delta_{jl} + \delta_{il} \delta_{jk}) \tag{4}$$

である.また,p は既知ベクトル,n は境界上の外向き単位 法線ベクトル, λ,μ はラメ定数, ρ は弾性体の密度, δ_{ij} は

クロネッカーのデルタ, $(\)_{,i}$ は空間座標による微分 $rac{\partial}{\partial arepsilon_{i}}$ で

Bonnet の研究 $^{(1)}$ では,散乱体の配置 Γ によって求まる次 の目的汎関数 $J(\Omega_{\Gamma})$ を用いて、トポロジー導関数を式 (7) で 定義する.

$$J(\Omega_{\Gamma}) := \int_{0}^{T} \int_{S^{\text{obs}}} \varphi(\boldsymbol{u}^{\Gamma}(\boldsymbol{\xi}, t), \boldsymbol{\xi}, t) dl(\boldsymbol{\xi}) dt \qquad (5)$$

$$\varphi(\boldsymbol{w}, \boldsymbol{\xi}, t) := |\boldsymbol{w} - \boldsymbol{u}^{\text{true}}(\boldsymbol{\xi}, t)|^{2}$$
(6)

$$\mathcal{T}(\boldsymbol{x}^{0}) := \lim_{\epsilon \to 0} \frac{1}{\pi \epsilon^{2}} \{ J(\Omega_{\Gamma_{\epsilon}}) - J(\Omega_{\Gamma}) \}$$
 (7)

ここに , $oldsymbol{u}^{ ext{true}}$ は正解の散乱体配置 $arGamma_{ ext{true}}$ での初期値境界値問 題 $\, {\cal P}(arGamma_{
m true})\,$ の解であり, $arOmega\,$ の境界の一部 $\, S^{
m obs} \subset S\,$ で計測で きているとする . また $, arGamma_\epsilon$ は散乱体配置 arGamma に中心 $oldsymbol{x}^0,$ 半径 ϵ の微小な円形散乱体 D_ϵ を追加した散乱体配置 $\Gamma_\epsilon = \Gamma + \partial D_\epsilon$ である.

式(7)のトポロジー導関数を計算するには,対象物表面に おいて変位の接線成分・法線成分の両方が必要である、一方 で実際のレーザ超音波計測では対象物表面の法線方向の粒 子速度 $\dot{u}^{ ext{obs}}(oldsymbol{\xi},t)=\dot{oldsymbol{u}}^{ ext{true}}(oldsymbol{\xi},t)\cdotoldsymbol{n}(oldsymbol{\xi})$ が計測されるため,ト ポロジー導関数を Bonnet が定義した式(7)の形で計算する ことはできない.そこで,目的汎関数を次のように $\dot{u}^{
m obs}$ で 構成する.

$$\tilde{J}(\Omega_{\Gamma}) := \int_{0}^{T} \int_{S^{\text{obs}}} \tilde{\varphi}(\dot{\boldsymbol{u}}^{\Gamma}(\boldsymbol{\xi}, t), \boldsymbol{\xi}, t) dl(\boldsymbol{\xi}) dt \qquad (5')$$

$$\tilde{\varphi}(\boldsymbol{w}, \boldsymbol{\xi}, t) := \left\{ \boldsymbol{w} \cdot \boldsymbol{n}(\boldsymbol{\xi}) - \dot{\boldsymbol{u}}^{\text{obs}}(\boldsymbol{\xi}, T - t) \right\}^2$$
 (6')

このとき,トポロジー導関数は元の問題 $\, {\cal P}(\Gamma)\,$ の解 $\, {f u}^{\Gamma}$,以 下の随伴問題 $ilde{\mathcal{P}}(arGamma)$ の解 $ilde{u}^arGamma$ を用いて式(9)で得られる.

 $\tilde{\mathcal{P}}(\Gamma)$:

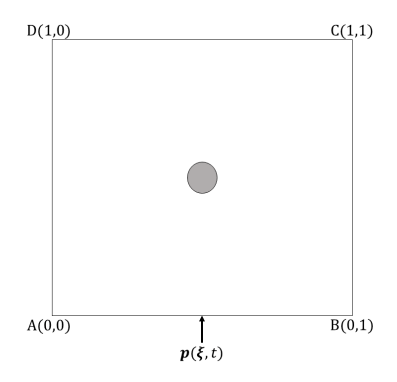


Fig. 1 中心に円形空洞を持つ2次元等方弾性体

$$\begin{cases}
\Delta^* \tilde{\boldsymbol{u}}^{\Gamma}(\boldsymbol{\xi},t) = \rho \ddot{\tilde{\boldsymbol{u}}}^{\Gamma}(\boldsymbol{\xi},t) & (\boldsymbol{\xi} \in \Omega_{\Gamma}, t > 0) \\
\boldsymbol{t}[\tilde{\boldsymbol{u}}^{\Gamma}](\boldsymbol{\xi},t) & \\
= \frac{\partial \tilde{\varphi}}{\partial \boldsymbol{w}} (\dot{\boldsymbol{u}}(\boldsymbol{\xi},T-t), \boldsymbol{\xi},T-t) & (\boldsymbol{\xi} \in S^{\text{obs}}, t > 0) \\
\boldsymbol{t}[\tilde{\boldsymbol{u}}^{\Gamma}](\boldsymbol{\xi},t) = \boldsymbol{0} & (\boldsymbol{\xi} \in S \setminus S^{\text{obs}}, t > 0) \\
\boldsymbol{t}[\tilde{\boldsymbol{u}}^{\Gamma}](\boldsymbol{\xi},t) = \boldsymbol{0} & (\boldsymbol{\xi} \in \Gamma, t > 0) \\
\tilde{\boldsymbol{u}}^{\Gamma}(\boldsymbol{\xi},0) = \dot{\tilde{\boldsymbol{u}}}^{\Gamma}(\boldsymbol{\xi},0) = \boldsymbol{0} & (\boldsymbol{\xi} \in \Omega_{\Gamma}) \\
\end{cases} (8e)$$

$$\tilde{\mathcal{T}}(\boldsymbol{x}^0) = \left(A_{ijkl} \sigma [\tilde{\boldsymbol{u}}^{\Gamma}]_{ij} * \sigma [\dot{\boldsymbol{u}}^{\Gamma}]_{kl} + \rho \dot{\tilde{\boldsymbol{u}}}_{k}^{\Gamma} * \ddot{\boldsymbol{u}}_{k}^{\Gamma} \right) (\boldsymbol{x}^0, T) \quad (9)$$

ここに ,

$$\sigma[\boldsymbol{w}]_{ij} = C_{ijkl} w_{l,k} \tag{10}$$

$$A_{ijkl} = -\frac{1-\nu}{2\mu(1+\nu)}\delta_{ij}\delta_{kl} + \frac{1-\nu}{\mu}(\delta_{ik}\delta_{jl} + \delta_{il}\delta_{jk}) \quad (11)$$

であり $^{2)}$,()*()は時間についてのたたみこみである.

3. 数值計算結果

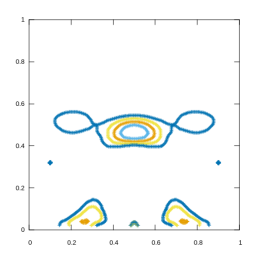
各初期値境界値問題は区分一定の空間内挿関数,区分線 形の時間内挿関数を用いて離散化を行い,時間域の境界積 分方程式法³⁾により解を求める.また,随伴問題,及びト ポロジー導関数を計算する際に必要となる空間微分,時間 微分は差分近似により求める.

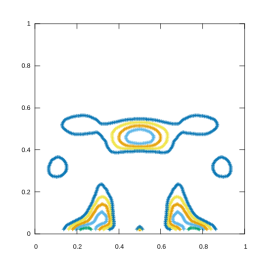
3.1 問題設定

4点 O(0,0), A(0,1), B(1,1), C(1,0) を頂点する正方形の 2 次元等方弾性体 (Fig. 1) を考える.この弾性体は中心 (0.5,0.5), 半径 0.1 の円形の空洞を持つ.この空洞を未知として,弾性体表面の粒子速度の法線成分から空洞を決定する問題を考える.材料定数はそれぞれ, $\lambda=2$, $\mu=1$, $\rho=1$ とする.入力として下辺の中点に次のトラクション

$$\begin{split} & \boldsymbol{t}[\boldsymbol{u}](\boldsymbol{\xi},t) = \boldsymbol{p}(\boldsymbol{\xi},t) \\ &= \begin{cases} -\delta(\xi_1 - 0.5)\delta(\xi_2) \sin 4\pi t \; \boldsymbol{n}(x_1,x_2) & (0 < t < 1) \\ \boldsymbol{0} & (\text{otherwise}) \end{cases} \end{split}$$

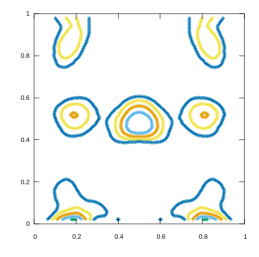
を入射し,時刻 t=2まで計測を行う.時間域の境界要素法において,時間増分 $\Delta t=0.02$,境界要素サイズ $\Delta x=0.02$ とした.散乱体決定解析においては,内部に散乱体が存在しない状態,すなわち, $D=\varnothing$ とし,弾性体の内点(49×49 個の格子点)でのトポロジー導関数を計算した.なお, S^{obs} は(1) 辺 OA ,(2)S(4 辺全て)の2 通りを考える.

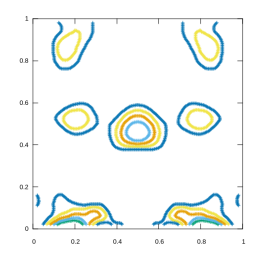




(a) $\dot{u}^{
m obs}$ を用いたトポロジー導関数(b) $\dot{u}_i^{
m true},~i=1,2$ を用いたトポロジー導関数

Fig. 2 (1) $S^{\text{obs}} =$ 辺 OA としたトポロジー導関数の等高線





(a) \dot{u}^{obs} を用いたトポロジー導関数(b) $\dot{u}_{i}^{\mathrm{true}},~i=1,2$ を用いたトポロジー導関数

Fig. 3 (2) $S^{\text{obs}} = S$ としたトポロジー導関数の等高線

3.2 数值計算結果

計測する境界 $S^{\rm obs}$ を変えた 2 つのケースについて内点での式 (7) と式 (9) で求まるトポロジー導関数の等高線を Fig. 2, 3 に示す.なお,図中のトポロジー導関数の値は最も小さな値となるトポロジー導関数の値で正規化されたものである.

Fig. 2(a), 3(a) より,レーザ超音波計測データ $\dot{u}^{\rm obs}$ を用いたトポロジー導関数による散乱体決定解析においても,正解の散乱体位置でトポロジー導関数は負の大きな値となって分布しており,正しく散乱体の情報を推定できていることがわかる.また,Fig. 2(b), 3(b) との比較により,対象物表面の粒子速度の接線成分は散乱体の決定にほぼ関与していないことがわかった.

4. 結論

対象物表面の法線方向の粒子速度を用いたトポロジー導 関数の精度を簡単な数値例で検証した.今回扱った例では, 十分な精度で欠陥の位置の推定を行えることが確認できた.

今後の課題として,より複雑な問題や3次元弾性波動問題に適用した場合の精度の検証などが挙げられる.

参考文南

- 1) Marc Bonnet, *Topological sensitivity for 3D elastodynamic* and acoustic inverse scattering in the time domain, Comput.Methods Appl.Mech.Engrg.195, pp.5239-5254, 2006.
- 2) 田代匡彦・斎藤隆泰・木本和志,トポロジー感度を欠陥 検出指標に用いた二次元動弾性時間反転解析とリニア アレイ探傷法への応用,土木学会第23回応用力学シン ポジウム講演概要集,2020.
- 3) 小林昭一(編), 波動解析と境界要素法, 京都大学学術出版 会, 2000